

准分子激光照射人正常主动脉的组织效应

包世宏 董蓉 郑道声 张世华 盖保康

(上海第二医科大学附属仁济医院心内科, 200001)

霍芸生 魏运荣 董景星 楼祺洪

(中国科学院上海光机所, 201800)

摘要: 本文应用 XeCl 准分子激光, 在不同单脉冲能量和不同重复频率下, 照射人尸正常主动脉, 在不同的表面介质条件下观察它们的组织学变化。

关键词: 准分子激光, 主动脉

Effect on aorta irradiated by excimer laser

Bao Shihong, Dong Rong, Zhen Daosheng, Zhang Shihua, Gai Paokong

(Ren Ji Hospital, Shanghai Second Medical University, Shanghai)

Huo Yuasheng, Wei Yunrong, Dong Jing xing, Lou Qihong

(Shanghai Institute of Optics and Fine Mechanics, Academia Sinica, Shanghai)

Abstract: The change of normal aorta wall irradiated by XeCl excimer laser were observed at various laser pulse energies and pulse repetition rates with different medium at the aortasurface.

Key words: excimer laser, aorta

引言

应用激光治疗冠心病是 80 年代新兴的一项新技术。目前临床使用较多的激光器是 Nd: YAG 和氩离子激光。由于二者对组织的作用机理均为热效应^[1, 2], 故对组织的损伤较重, 易引起穿孔和再阻塞等并发症^[3, 4]。准分子激光的波长短, 脉宽窄, 峰值功率高, 其作用机理为光化学效应^[5, 6], 组织照射后的消蚀坑表面光滑, 邻近组织几乎不能发现损伤^[7], 故适合应用于心血管疾病的治疗。本文应用准分子激光照射人尸正常的主动脉, 旨在研究不同的单脉冲能量、脉冲重复率及总能量对组织作用的情况, 以及其在不同介质中的传导性。

结果显示: 消蚀坑深随单脉冲能量及总能量的增加而增深; 消蚀坑的形状在单脉冲能量为变量组中, 坑边整齐多呈“V”字型; 当脉冲重复率和总能量为变量时, 坑型不规则。在增大脉冲频率至 35 Hz 时消蚀坑最深, 随着总能量及脉冲重复率的增加, 坑周损伤区也随之扩大和变重, 尤以后者明显。

在相同辐照参数下, 经空气介质照射的标本坑型呈“V”字形者 60%, 呈圆柱形者 40%, 坑内几无碳化物质。经生理盐水照射的标本, 仅见内皮隆起, 其下方为空泡变性, 也有部分为内皮断裂; 经血液照射的标本, 靶区不产生凹坑。

材料与方法

1. 标本准备 将死亡 24 h 内新鲜人尸的正常主动脉取出, 剪除其外膜的脂肪组织后, 作纵切开, 用 0.9% 氯化钠溶液将沉积的血液成份冲洗干净, 剪成约为 $2 \times 2 \text{ cm}^2$ 的血管壁片段, 浸于 0.9% 氯化钠溶液中, 放置于液氮冰箱中保存。标本共 70 片, 包括空气介质组 40 片, 生理盐水介质组 20 片, 血液介质组 10 片。

2. 激光器: 本实验选用 SY-200 型 XeCl 准分子激光器, 波长为 308 nm, 单脉冲能量可达 400 mJ, 脉冲重复率 1~100 Hz, 连续可调, 脉宽 50 ns, 发射的激光束通过聚焦后使垂直照射于组织标本上, 光斑直径为 1.5~2.0 mm, 焦距长度为 20 cm, 整个系统能量损失 10%。

3. 实验方法

(1) 将标本放在调整架上的石英玻璃皿中, 使激光束焦点垂直落于血管内膜上。脉冲重复率为 10 Hz, 固定照射总能量, 以衰减片遮挡法获得 10、13、20、25、50、80、100、124 mJ 的单脉冲能量照射标本, 先固定单脉冲能量为 40 mJ, 脉冲重复率为 10 Hz, 增加照射时间以改变总能量, 观察照射后标本的组织效应。随后, 固定总能量为 3 J 和单脉冲能量为 40 mJ, 每次以 5 Hz 递增脉冲重复率由 10 Hz~60 Hz 观察组织效应。

(2) 分别将三种介质组的标本相应置于空气、1.5~2.0 cm 深的生理盐水及新鲜抗凝的血液等三种介质中, 以 40 mJ/P、脉冲重复率 10 Hz、照射时间 10 s 照射组织, 观察组织效应。

(3) 将照射后的标本置于 10% 福尔马林溶液中固定, 常规石蜡包埋切片, HE 染色后进行观察。

结果与讨论

1. 消蚀坑的深度及形状与脉冲能量及频率的关系:

(1) 消蚀坑深度随单脉冲能量(图 1(a))及总能量(图 1(b))的增大而增深。(2)消蚀坑的形状在单脉冲能量为变量组中较为整齐, 多呈“V”字形, 当脉冲频率及总能量为变量时, 坑型则变得不规则, 尤以前者明显。在增大脉冲频率至 35 Hz 时, 消蚀坑最深(图 1(b)), 增至 50 Hz 以上时, 消蚀坑则呈偏心状(图 2)。

2. 坑周损伤与总能量及脉冲频率的相关性。

随总能量及脉冲频率的增加, 坑周的损伤区亦随之扩大和变重, 尤以脉冲重复率增加时更为明显。在 HE 染色时, 损伤区呈点状或片状深红色物并伴有微量空泡(图 3)。

3. 以相同照射条件经不同介质组的组织效应。

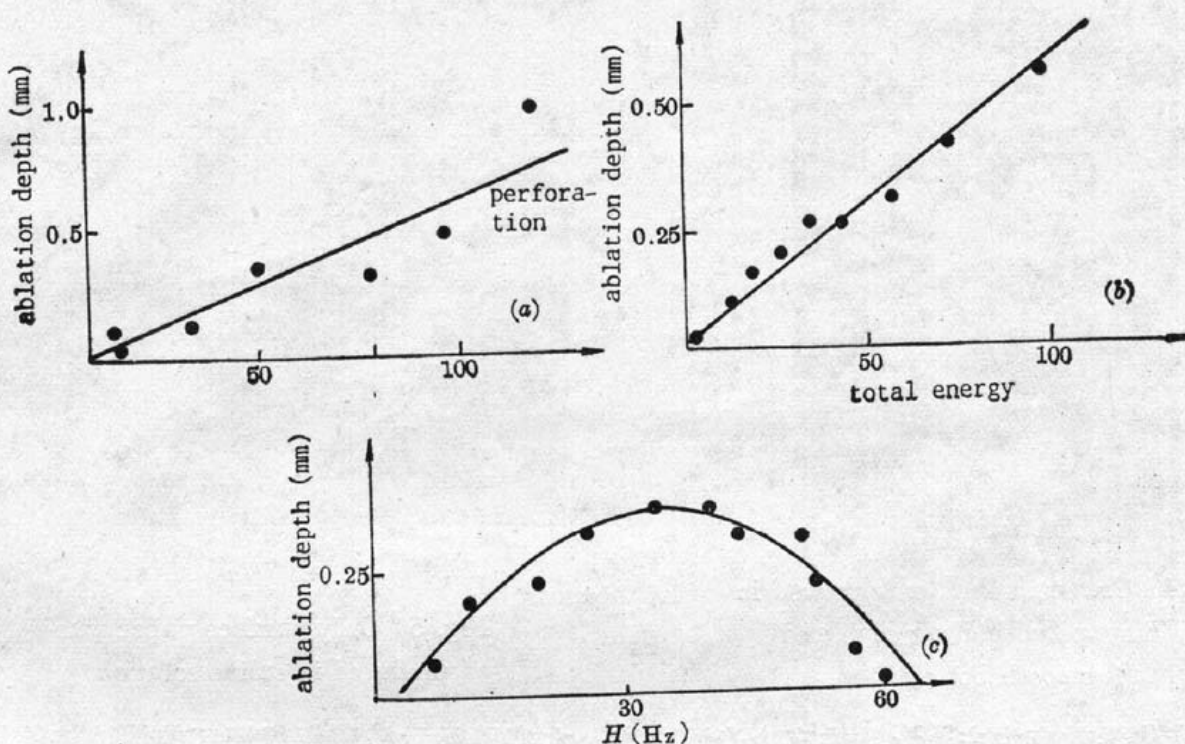


Fig. 1 (a) relations hip of pulse energy and ablation depth; (b) relation ship of total energy and ablation dedth; (c) relations ship of pulse repetition rate and ablation depth



Fig. 2 At the pulse repetition rate of 50 Hz, the crater appeared electrically

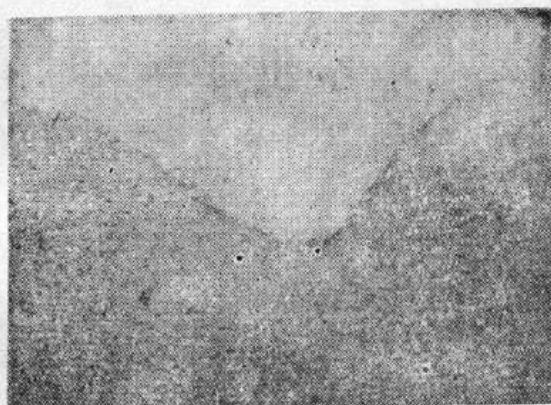


Fig. 3 At the pulse repetition rate of 55Hz, the surrounding of crater was deeply stained accompanying with microbubbles(hematoxylin and eosin stain)

(1) 空气介质组中的 40 个标本照射后均产生消蚀坑，其坑边缘整齐，坑底平整，坑型为“V”字形(60%) (图 4)或圆柱形(40%)，坑内几无碳化组织及其它残留物。(2)生理盐水介质组中的 20 个标本中部分见内皮隆起，下方呈空泡变性；部分仅有内皮断裂(图 5)。(3)血液介质组中的 10 个标本，在靶区不产生凹坑，当增加总能量并缩小光斑直径至 1 mm 及减少全血厚度至 0.5 mm 时，血液出现沸腾，但仍无凹坑形成。

1982 年，Srinivasan 等^[7]首先证实紫外激光可切割人体组织，因而引起医学界的关注。准分子激光是一种紫外激光，其对生物组织的作用原理，虽亦有人认为系热效应^[8]，但大多数认

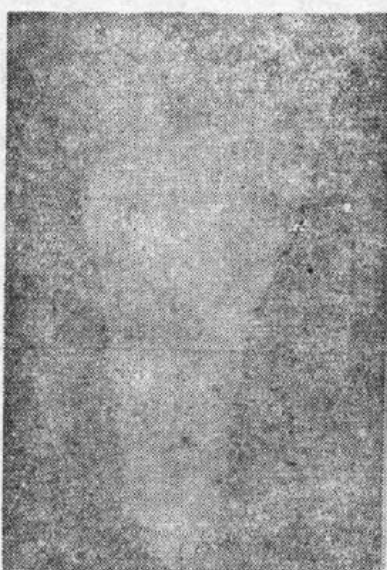


Fig. 4 Crater in the air appeared in "V" shape with clear edge and smooth bottom



Fig. 5 Only surface vapor was produced in saline solution

为系以光化学效应为主^[9, 10], 故有冷光源之称。本实验显示被照组织靶区的消蚀坑的坑缘整齐光滑, 支持了这种“冷光源”激光的作用机理主要系光化学效应, 即打断了被照组织的化学键而达到切割组织的作用; 此外坑周组织的轻微损伤, 提示其亦有一定热效应。后者在脉冲能量和总能量较大时, 特别在脉冲重复率增加时, 更为明显。这可能与增加脉冲重复率后使两脉冲间隔缩短, 致组织热量不能及时散发有关^[8]。但这种现象远较文献报告及我们观察过的应用氩离子及 YAG 激光所引起的组织热效应者为轻。

其次本实验增加单脉冲能量, 总能量或脉冲重复率时, 均能增加切割组织的深度, 这与文献报告者相仿^[8, 11], 这种表现特别在增加单脉冲能量时更为明显。随着能量的增加最后终可引起穿孔, 但消蚀坑始终保持“V”形式截头圆锥状, 且坑壁凝固坏死仍很轻微, 故安全范围较大, 亦即有定量切割组织的作用, 有不少学者因而认为, 准分子激光是心肌血管重建术及激光心肌成形术的良好光源。

此外, 本实验亦显示准分子激光在空气中传导性最佳, 而在盐水中则明显减弱, 在血液中则几乎不传导^[8], 后者可能与 308 nm 的紫外激光的波长明显较红细胞直径(8 μm)者为短, 因而不能穿透红细胞, 提示临幊上应用准分子激光进行 PTCA 时, 光导纤维的头端必须与斑块组织接触, 才能在一定脉冲能量下获得消蚀作用。

参 考 文 献

- 1 Lee G, et al., *Am. Heart J.*, **102**, 1071 (1981)
- 2 W. S. Andrus, *Lasers Applications*, **2**, 97~100 (1985)
- 3 Lee G. et al., *Am. Heart. J. Cardiol.*, **56**, 181 (1985)
- 4 Lee G. et al., *Am. Heart J.*, **106**, 1577 (1984)
- 5 G. Wollenek et al., *Herrz*, **10**, 351 (1985)
- 6 E. M. Farrell et al., *J. Vasc. Surg.*, **3**, 284 (1986)
- 7 R. Srinivasan et al., *Appl. Phys., Lett.*, **41**, 576 (1982)
- 8 M. G. Douglas et al., *Am. Heart J.*, **112**, 739 (1986)
- 9 R. R. Anderson et al., *Science*, **220**, 524 (1983)
- 10 M. Jeffrey et al., *J Acc.*, **6**, 1102 (1985)
- 11 S. Warren et al., *J Acc.*, **5**, 929~933 (1985)